

Kvantemekanikkens postulater

Empirisk grunnlag for klassisk mekanikk er Newtons lover.

Empirisk grunnlag for kvantemekanikk er følgende postulater :

A. Operatorpostulat

Til en målbar størrelse i klassisk mekanikk,

$$F(q_1, q_2, \dots, q_N, p_1, p_2, \dots, p_N)$$

har vi i QM en lineær operator

$$\hat{F}(\hat{q}_1, \hat{q}_2, \dots, \hat{q}_N, \hat{p}_1, \hat{p}_2, \dots, \hat{p}_N)$$

Her er

$\hat{q}_j = q_j$ = operator for posisjonskoordinat q_j

$\hat{p}_j = \frac{\hbar}{i} \frac{\partial}{\partial q_j}$ = ————— impulskoordinat p_j

Eks: En partikkel i en dimensjon.

$$N=1. \quad \hat{q}_1 = q_1 = x, \quad \hat{p}_1 = \frac{\hbar}{i} \frac{d}{dx}$$

Fysiske størrelseQM operator

$$x, y, z$$

$$\hat{x} = x, \hat{y} = y, \hat{z} = z$$

$$p_x, p_y, p_z$$

$$\hat{p}_x = \frac{\hbar}{i} \frac{\partial}{\partial x} \quad \text{etc.}$$

$$\vec{p}$$

$$\hat{\vec{p}} = \frac{\hbar}{i} \nabla = \frac{\hbar}{i} \left(\hat{x} \frac{\partial}{\partial x} + \hat{y} \frac{\partial}{\partial y} + \hat{z} \frac{\partial}{\partial z} \right)$$

$$K = p^2/2m$$

$$\begin{aligned} \hat{K} &= \hat{\vec{p}}^2/2m = -\frac{\hbar^2}{2m} \nabla^2 \\ &= -\frac{\hbar^2}{2m} \left(\frac{\partial^2}{\partial x^2} + \frac{\partial^2}{\partial y^2} + \frac{\partial^2}{\partial z^2} \right) \end{aligned}$$

$$V(\vec{r})$$

$$\hat{V} = V(\vec{r})$$

$$E = K + V$$

$$\hat{H} = \hat{K} + \hat{V} = -\frac{\hbar^2}{2m} \nabla^2 + V$$

$$\vec{L} = \vec{r} \times \vec{p}$$

$$\hat{L} = \vec{r} \times \hat{\vec{p}} = \vec{r} \times \frac{\hbar}{i} \nabla$$

$$L_x = y p_z - z p_y$$

$$\hat{L}_x = \frac{\hbar}{i} \left(y \frac{\partial}{\partial z} - z \frac{\partial}{\partial y} \right)$$

$$L_y = z p_x - x p_z$$

$$\hat{L}_y = \frac{\hbar}{i} \left(z \frac{\partial}{\partial x} - x \frac{\partial}{\partial z} \right)$$

$$L_z = x p_y - y p_x$$

$$\hat{L}_z = \frac{\hbar}{i} \left(x \frac{\partial}{\partial y} - y \frac{\partial}{\partial x} \right)$$

OSU.

B. Tilstandspostulat

Systemets tilstand er fullstendig beskrevet ved bølgefunksjonen $\Psi(q_1, q_2, \dots, q_N, t)$ som oppfyller ligningen

$$i\hbar \frac{\partial \Psi}{\partial t} = \hat{H} \Psi \quad (\text{SL})$$

der

$\hat{H} = \hat{K} + \hat{V}$ = systemets Hamiltonoperator (energioperator).

Eks: 1 partikkkel i 1D boks

$$\hat{H} = -\frac{\hbar^2}{2m} \frac{d^2}{dx^2} + V(x)$$

$$V(x) = \begin{cases} 0 & ; \quad 0 < x < L \\ \infty & ; \quad \text{ellers} \end{cases}$$

C. Forventningsverdi postulat

Et stort antall målinger av en fysisk størrelse F , på systemer preparert i samme tilstand Ψ , vil gi en middelverdi som nærmer seg

$$\langle F \rangle = \int \Psi^* \hat{F} \Psi dq_1 dq_2 \dots dq_N$$

Eks: 1D boks, grunntilstanden ($n=1$)

$$\Psi_1(x,t) = \Psi_1(x) e^{-iE_1 t/\hbar} ; \quad \Psi_1(x) = \sqrt{\frac{2}{L}} \sin \frac{\pi x}{L}$$

$$\langle x \rangle = \int_0^L \Psi_1^*(x,t) \times \Psi_1(x,t) dx$$

$$= \int_0^L x |\Psi_1(x)|^2 dx = \dots = L/2$$

$$\langle p \rangle = \int_0^L \Psi_1^* \left(\frac{\hbar}{i} \frac{d}{dx} \right) \Psi_1 dx$$

$$\sim \int_0^L \sin \frac{\pi x}{L} \cdot \cos \frac{\pi x}{L} dx = 0$$

(pga antisymmetrisk integrand)

D. Målepostulat

En måling av F kan bare gi som resultat en av egenverdiene f_j , dvs slik at

$$\hat{F} \Psi_j = f_j \Psi_j$$

Etter måling av F , der resultatet ble f_j , hinner systemet i egentilstanden Ψ_j .

Dvs: Målingen påvirker systemet!

Eks: 1D boks. Anta en starttilstand

$$\Psi(x, t_0) = c_1 \Psi_1(x, t_0) + c_2 \Psi_2(x, t_0)$$

En energimåling ved $t_1 > t_0$ vil da gi E_1 eller E_2 , med sannsynlighet hhv $|c_1|^2$ og $|c_2|^2$.

Hvis målingen gav (f.eks) E_2 , så er

$$\Psi(x, t) = \Psi_2(x, t) \text{ for } t > t_1.$$

Usikkerhet og uskarphetsrelasjoner

Standardavvik er et vanlig mål for usikkerhet i en fysisk størrelse:

$$\Delta x = \sqrt{\langle (x - \langle x \rangle)^2 \rangle} \quad (\text{Root Mean Square Deviation})$$

Hensiktsmessig omskriving:

$$\begin{aligned} \langle (x - \langle x \rangle)^2 \rangle &= \langle x^2 - 2x\langle x \rangle + \langle x \rangle^2 \rangle \\ &= \langle x^2 \rangle - \langle x \rangle^2 \end{aligned}$$

$$\Rightarrow \boxed{\Delta x = \sqrt{\langle x^2 \rangle - \langle x \rangle^2}}$$

Standardavviket
i størrelsen x

For posisjon og impuls (postulat C):

$$\langle x^n \rangle = \int \Psi^* x^n \Psi dx = \int x^n |\Psi|^2 dx$$

$$\langle p^n \rangle = \int \Psi^* \left(\frac{\hbar}{i} \frac{\partial}{\partial x} \right)^n \Psi dx$$

~~~~~

Eks: Med "gaussisk" starttilstand

$$\Psi(x, 0) = C \cdot e^{-\alpha(x-x_0)^2} \cdot e^{i p_0 x / \hbar} \quad \text{fås (xwing 2)}$$

$\Delta x \cdot \Delta p = \hbar/2$ , som er minste teoretiske verdi for uskarphetsproduktet  $\Delta x \cdot \Delta p$ .

For to vilkårlige fysiske størrelser A og B,  
med QM operatorer  $\hat{A}$  og  $\hat{B}$ , kan en vise at

$$\boxed{\Delta A \cdot \Delta B \geq \frac{1}{2} \cdot |\langle [\hat{A}, \hat{B}] \rangle|}$$

der  $[\hat{A}, \hat{B}] \stackrel{\text{def}}{=} \hat{A}\hat{B} - \hat{B}\hat{A}$  = kommutatoren  
mellan  $\hat{A}$  og  $\hat{B}$ .

Eks:  $\hat{A} = \hat{x} = x$ ,  $\hat{B} = \hat{p} = \frac{\hbar}{i} \frac{\partial}{\partial x}$ . Vi beregner  
 $[\hat{x}, \hat{p}]$  ved å la den virke på en funksjon  $\Psi(x)$ .

$$\begin{aligned} [\hat{x}, \hat{p}] \Psi(x) &= x \frac{\hbar}{i} \frac{d}{dx} \Psi(x) - \frac{\hbar}{i} \frac{d}{dx} (x \Psi(x)) \\ &= \frac{\hbar}{i} x \frac{d\Psi}{dx} - \frac{\hbar}{i} \Psi - \frac{\hbar}{i} x \frac{d\Psi}{dx} = i\hbar \Psi(x) \end{aligned}$$

Dvs,  $[\hat{x}, \hat{p}] = i\hbar$ , som gir

$$\Delta x \cdot \Delta p \geq \frac{1}{2} \cdot |\langle i\hbar \rangle| = \hbar/2, \text{ som er}$$

Heisenbergs uskarphetsrelasjon.

Merk: Hvis  $[\hat{A}, \hat{B}] = 0$ , er  $\Delta A \cdot \Delta B \geq 0$ ,  
dvs det er (teoretisk) mulig å måle både  
A og B helt nøyaktig, samtidig. Eks:  $[\hat{x}, \hat{p}_y] = 0$   
 $\Rightarrow x$  og  $p_y$  kan måles nøyaktig samtidig

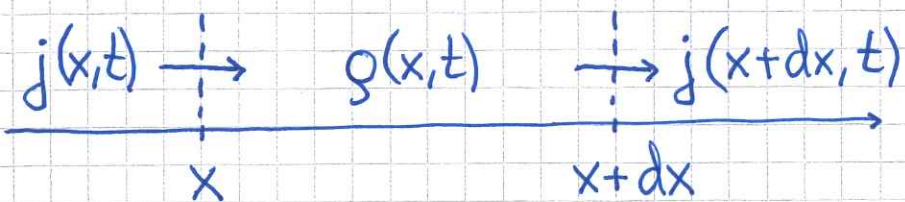
## Sannsynlighetsstrøm og -bevarelse

Sanns. tetthet:  $g(x,t) = |\Psi(x,t)|^2$ , med enheten

$[g] = 1/m$  i 1D. ( $1/m^3$  i 3D)

Normering:  $\int_{-\infty}^{\infty} g(x,t) dx = 1$

Hvis  $g$  endrer seg et sted, må det skyldes en netto strøm (inn eller ut) av sannsynlighet her:



Sanns. strøm ved pos.  $x$  ved tid  $t$ :  $j(x,t)$ ,

med enhet  $[j] = [\text{sanns.}/\text{tid}] = 1/s$  i 1D.

( $\frac{\text{sanns.}}{\text{tid} \cdot \text{flate}}$  i 3D, enhet  $1/s \cdot m^2$ )

Sanns. bevarelse er nå uttrykt via en såkalt kontinuitetsligning for sannsynlighet:

$$\boxed{\frac{\partial g}{\partial t} + \frac{\partial j}{\partial x} = 0} \quad 1D$$

(Vi har tilsvarende kont.lign. for ladning i elektromagnetisme, for masse i hydrodynamikk, etc.)

Det er "rett fram" å vise at  $SL$ ,

$i\hbar \frac{\partial \Psi}{\partial t} = \hat{H}\Psi$ , med  $\mathcal{J} = \Psi^* \Psi$  gir sanns. bevarelse, med sanns. strøm

$$\boxed{j(x,t) = \operatorname{Re} \left[ \Psi^*(x,t) \frac{1}{m} \frac{\hbar}{i} \frac{\partial}{\partial x} \Psi(x,t) \right]}$$

Eks 1: Stasjonær tilstand i 1D boks ;  $j_n = ?$

Løsn:  $\Psi_n(x,t) = \sqrt{2/L} \sin(n\pi x/L) e^{-iE_nt/\hbar}$

Det som står inni [...] er rent imaginært  $\Rightarrow j_n = 0$

Som ventet: Ingen netto strøm knyttet til stående bølger.

Eks 2: Fri partikkkel,  $\Psi(x,t) = e^{ikx} \cdot e^{-iEt/\hbar}$ .

Løsn:  $\frac{\partial \Psi}{\partial x} = ik \cdot \Psi$

$$\Rightarrow j = \operatorname{Re} \left[ \frac{1}{m} \frac{\hbar}{i} ik \right] = \frac{\hbar k}{m} = p/m = v$$

Som ventet. (Her ble  $[j] = \text{m/s}$  fordi vi

brukte en dimensjonslös  $\Psi$ .)

## Tidsutvikling av forventningsverdier

Fra SL følger at (så lenge  $\partial \hat{A} / \partial t = 0$ )

$$\frac{d}{dt} \langle A \rangle = \frac{i}{\hbar} \langle [\hat{A}, \hat{A}] \rangle$$

Hvis  $[\hat{H}, \hat{A}] = 0$ , er  $\langle A \rangle$  en bevegelseskonsant.

Eks: Fri partikkel,  $\Psi(x) = e^{ipx/\hbar}$ ;  $\frac{d}{dt} \langle p \rangle = ?$

Nå er  $\hat{H} = \hat{p}^2/2m$ , slik at  $[\hat{H}, \hat{p}] = 0$ ,  
dvs  $\langle p \rangle = p = \text{konstant}$

## Klassiske bevegelsesligninger i 1D:

$$\frac{dx}{dt} = \frac{p}{m}; \quad \frac{dp}{dt} = -\frac{\partial V}{\partial x} \quad (= F)$$

I QM har vi tilsvarende lign. for  $\langle x \rangle$  og  $\langle p \rangle$ .

Vi må regne ut  $[\hat{H}, x]$  og  $[\hat{H}, \hat{p}]$ , med

$$\hat{H} = \hat{K} + \hat{V} = \hat{p}^2/2m + V(x):$$

$$[\hat{H}, x] = \frac{1}{2m} [\hat{p}^2, x] + \underbrace{[V(x), x]}_{=0}$$

$$\begin{aligned}
 [\hat{p}^2, x] &= \hat{p}^2 x - x \hat{p}^2 = \hat{p}(\hat{p}x) - (x\hat{p})\hat{p} \\
 &= \underbrace{\hat{p}(\hat{p}x) - (\hat{p}x)\hat{p}}_{= -i\hbar} + \underbrace{(\hat{p}x)\hat{p} - (x\hat{p})\hat{p}}_{= -i\hbar} \\
 &= \hat{p} \underbrace{(\hat{p}x - x\hat{p})}_{= -i\hbar} + \underbrace{(\hat{p}x - x\hat{p})\hat{p}}_{= -i\hbar} = -2i\hbar\hat{p}
 \end{aligned}$$

$$\Rightarrow \frac{d\langle x \rangle}{dt} = \frac{i}{\hbar} \frac{1}{2m} (-2i\hbar) \langle \hat{p} \rangle = \underline{\frac{\langle p \rangle}{m}}$$

$$[\hat{H}, \hat{p}] = \frac{1}{2m} \underbrace{[\hat{p}^2, \hat{p}]}_{= 0} + [V(x), \hat{p}] = [V(x), \hat{p}]$$

$$\begin{aligned}
 [V(x), \hat{p}] \psi(x) &= V(x) \frac{\hbar}{i} \frac{\partial}{\partial x} \psi(x) - \frac{\hbar}{i} \frac{\partial}{\partial x} (V(x)\psi(x)) \\
 &= -\frac{\hbar}{i} \frac{\partial V}{\partial x} \cdot \psi(x)
 \end{aligned}$$

$$\Rightarrow \underline{\frac{d}{dt} \langle p \rangle} = \frac{i}{\hbar} \left(-\frac{\hbar}{i}\right) \langle -\frac{\partial V}{\partial x} \rangle = \underline{\langle -\frac{\partial V}{\partial x} \rangle}$$

Oppsummert er dette Ehrenfests teorem:

$$\boxed{\frac{d\langle x \rangle}{dt} = \frac{\langle p \rangle}{m} ; \quad \frac{d\langle p \rangle}{dt} = \langle -\frac{\partial V}{\partial x} \rangle}$$

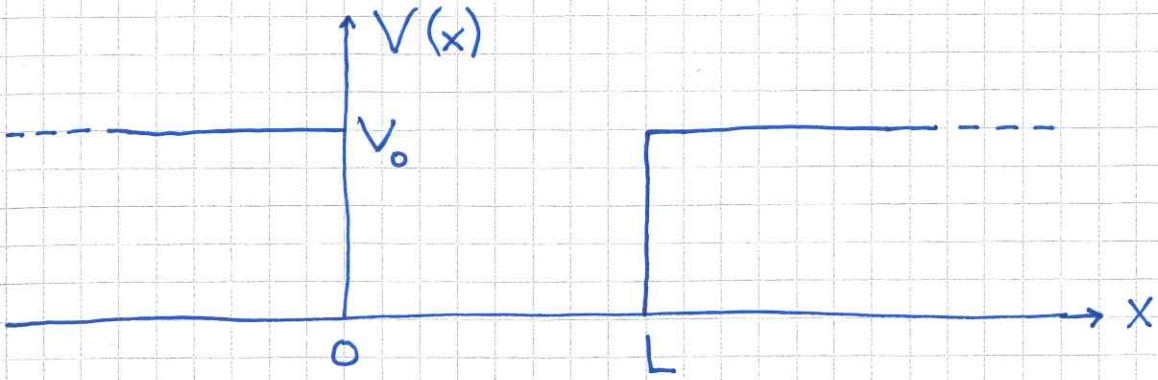
ext. i 3D:

$$\frac{d\langle \vec{r} \rangle}{dt} = \frac{\langle \vec{p} \rangle}{m} ; \quad \frac{d\langle \vec{p} \rangle}{dt} = \langle -\nabla V \rangle$$

# Eksempler og anvendelser

## Endelig potensialbrønn

[YF 40.3]



$$V(x) = 0 \text{ for } 0 < x < L ; V(x) = V_0 \text{ ellers}$$

(Relevans: Halvledere. Nanoteknologi.)

$$\text{TUSL: } \hat{H} \Psi(x) = E \Psi(x)$$

$$\Rightarrow \Psi''(x) = \begin{cases} -\frac{2mE}{\hbar^2} \Psi(x) & ; \quad 0 < x < L \\ \frac{2m}{\hbar^2} (V_0 - E) \Psi(x) & ; \quad \text{ellers} \end{cases}$$

Med  $k = \sqrt{2mE}/\hbar$  og  $\beta E = \sqrt{2m(V_0 - E)}/\hbar$  blir

bundne tilstander, med  $E < V_0$ , på formen

$$\Psi(x) = \begin{cases} C \sin kx + D \cos kx & ; \quad 0 < x < L \\ A e^{\beta E x} + B e^{-\beta E x} & ; \quad \text{ellers} \end{cases}$$

(66)

Må her velge  $\Psi(x) = A e^{\beta ex}$  for  $x < 0$

og  $\Psi(x) = B e^{-\beta ex}$  for  $x > L$ , for å unngå at  $|\Psi| \rightarrow \infty$  når  $|x| \rightarrow \infty$ .

De 5 ukjente,  $A, B, C, D$  og energien  $E$ , fastlegges med de 5 ligningene vi får ved å kreve  $\Psi$  og  $\Psi'$  kontinuerlige i  $x=0$  og  $x=L$ , samt normeningsbetingelsen  $\int_{-\infty}^{\infty} |\Psi(x)|^2 dx = 1$ .

Gir symmetriske  $\Psi(x)$  med energier bestemt ved

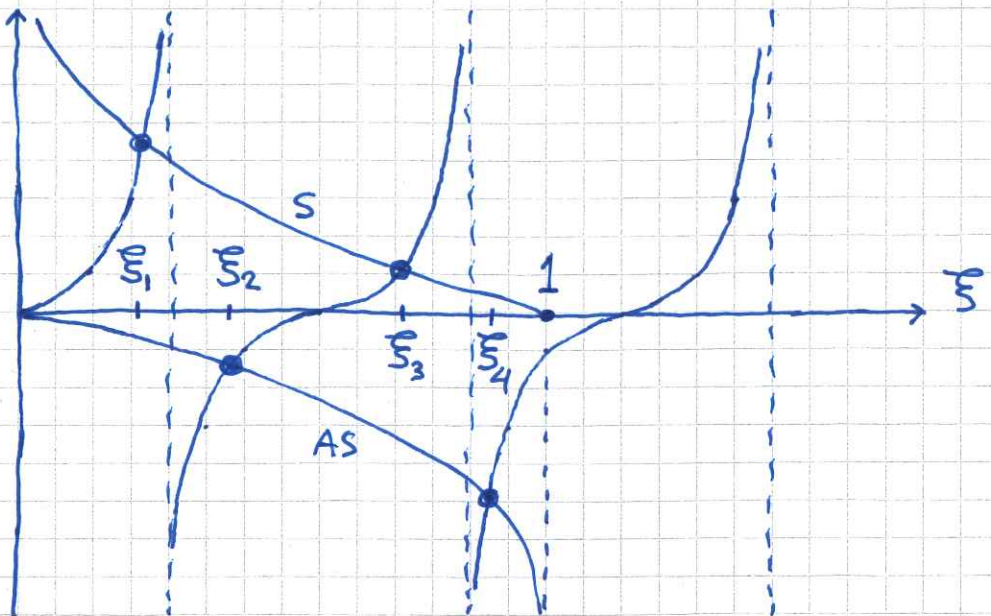
$$\tan(kL/2) = \beta e/k$$

og antisymmetriske  $\Psi(x)$  med energier bestemt ved

$$\tan(kL/2) = -k/\beta e$$

Disse kan ikke løses "på lukket form", men kan framstilles grafisk. Innfører den dim.lose størrelsen  $\xi = \sqrt{E/V_0} < 1$ , som gir ligningene

$$\tan\left(\xi \cdot \frac{\sqrt{2mV_0} L}{2\hbar}\right) = \begin{cases} \sqrt{1-\xi^2}/\xi & ; \text{ symm.} \\ -\xi/\sqrt{1-\xi^2} & ; \text{ antisymm.} \end{cases}$$



- Alltid minst 1 bundet tilstand
- Vekselvis S, AS, S, ... for økende energi
- Flere bundne tilstander jo dypere og bredere brønn
- Her: 4 bundne tilst. med energi  $E_n = V_0 \cdot \xi_n^2$
- Merk at  $|\psi|^2 > 0$  også utenfor brønnen, der  $E < V$ : Partikkelen kan "besøke" det klassisk forbudte området!

Hvis  $E > V_0$ , er

$$\Psi''(x) = -\frac{2m(E-V_0)}{\hbar^2} \Psi(x) = -K^2 \Psi(x)$$

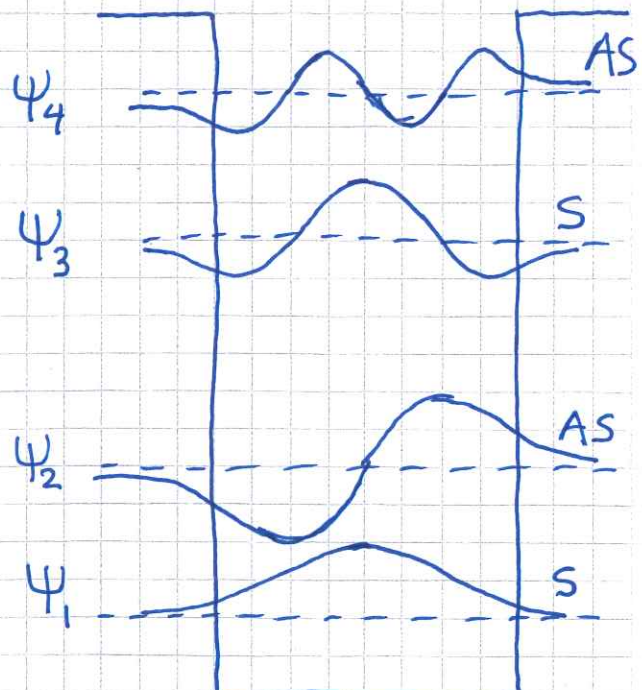
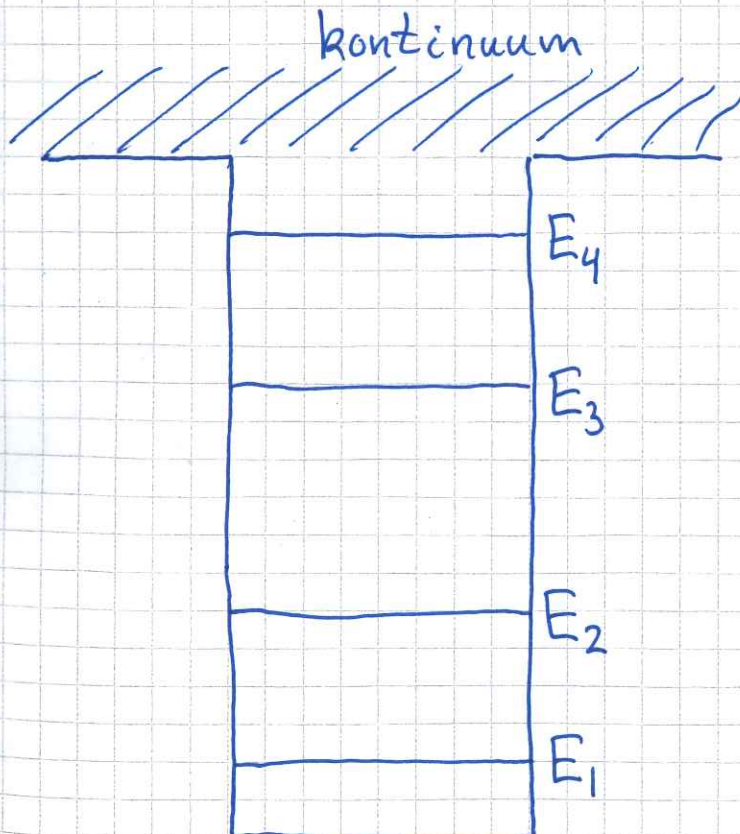
utenfor brønnområdet, med løsning

$$\Psi(x) = a \sin Kx + b \cos Kx,$$

som kan "matches" med  $C \sin kx + D \cos kx$

(dvs  $\Psi$  og  $\Psi'$  begge kontinuerlige i  $x=0$  og  $x=L$ )

for alle verdier av  $E > V_0$ . Dvs, vi har et  
kontinuerlig energispektrum for  $E > V_0$ .



# Goulombpotensialet

[OS 8.1] [YF 41.3]

Vå gjør som Schrödinger og ser på H-atomet:



$$V(\vec{r}) = V(r) = -\frac{e^2}{4\pi\epsilon_0 r} \quad (\text{kulesymmetrisk})$$

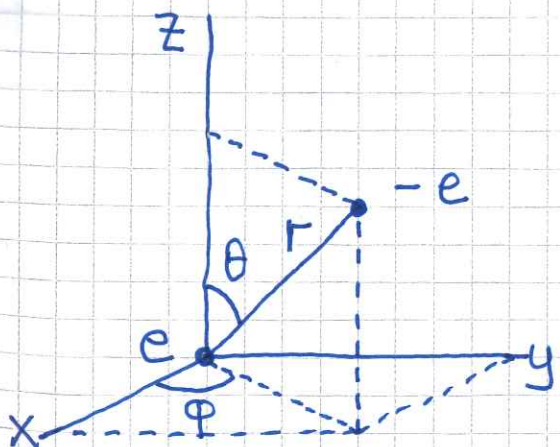
TUSL:  $\hat{H}\Psi = E\Psi$

med

$$\hat{H} = -\frac{\hbar^2}{2m_e} \nabla^2 - \frac{e^2}{4\pi\epsilon_0 r}$$

Dos, vi antar kjernen i ro; OK tilnærrelse siden  $m_p \gg m_e$ .

Her hensiktsmessig med kulekoordinater  $(r, \theta, \varphi)$ :



$$z = r \cos \theta$$

$$x = r \sin \theta \cos \varphi$$

$$y = r \sin \theta \sin \varphi$$

Schrödinger løste TUSL; vi nøyer oss med å se nærmere på løsningen.

TUSL har produktløsninger

$$\Psi(r, \theta, \varphi) = R(r) \cdot \Theta(\theta) \cdot \Phi(\varphi)$$

med separate ligninger for  $R$ ,  $\Theta$  og  $\Phi$

og løsninger (der  $a_0 \approx 0.529 \text{ \AA} = \text{Bohr-radius}$ )

$$R_{ne}(r) = e^{-r/na_0} \cdot \{ \text{polynom i } r/a_0 \}$$

$$\Theta_{lm_e}(\theta) = \text{polynom i } \sin \theta \text{ og/eller } \cos \theta$$

$$\Phi_{m_e}(\varphi) = e^{im_e \varphi}$$

Dvs tre kvantetall  $n, l, m_e$ :

$n = 1, 2, 3, \dots$  = hovedkvantetallet

$l = 0, 1, \dots, n-1$  = dreieimpulskvantetallet

$m_e = 0, \pm 1, \dots, \pm l$  = det magnetiske kvantetallet

Energi-egenverdier:

$$E_n = -\frac{m_e e^4 / 32 \pi^2 \epsilon_0^2 \hbar^2 n^2}{n^2} \approx -\frac{13.6 \text{ eV}}{n^2}$$

(som i Bohrs modell)

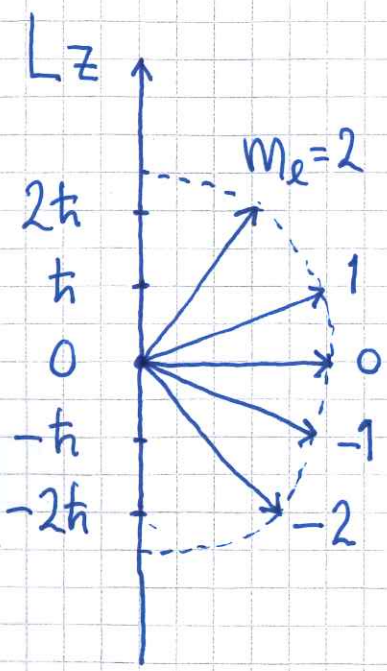
Kvantisert dreieimpuls:

$$L = |\vec{L}| = \sqrt{l(l+1)} \hbar = 0, \sqrt{2} \hbar, \sqrt{6} \hbar, \dots, \sqrt{n(n-1)} \hbar$$

Kvantisert en komponent av  $\vec{L}$ , her valgt 71  
i z-retning:

$$L_z = m_e \hbar = 0, \pm \hbar, \pm 2\hbar, \dots, \pm l\hbar$$

Eks: Hvis  $l=2$ , er  $L = \sqrt{6}\hbar$ , og  $L_z$  kan ha 5 ulike verdier.



Hvis H-atomet befinner seg i en gitt tilstand  $\Psi_{n, l, m_e}$ , betyr det at både  $E$ ,  $L$  og  $L_z$  er skarpe samtidig. Da må  $\hat{H}$ ,  $\hat{L}$  og  $\hat{L}_z$  kommutere innbyrdes (s. 60), noe de gjør! (Så lenge  $V$  er isotrop,  $V = V(r)$ .)

Men: Med skarp  $L_z$  er både  $L_x$  og  $L_y$  uskarpe!

$\hat{L}_x$ ,  $\hat{L}_y$  og  $\hat{L}_z$  kommuterer ikke innbyrdes:

$$[\hat{L}_x, \hat{L}_y] = i\hbar \hat{L}_z, \quad [\hat{L}_y, \hat{L}_z] = i\hbar \hat{L}_x,$$

$$[\hat{L}_z, \hat{L}_x] = i\hbar \hat{L}_y$$

Notasjon:

| n     | 1 | 2 | 3 | 4 | ... |
|-------|---|---|---|---|-----|
| skall | K | L | M | N |     |

Økende n  $\Rightarrow$  økende utstrekning:  $\langle \frac{1}{r} \rangle^{-1} = n^2 a_0$ .

| l       | 0 | 1 | 2 | 3 | 4 | 5 | ... |
|---------|---|---|---|---|---|---|-----|
| bokstav | s | p | d | f | g | h |     |

(Spektroskopi, 1800-tallet: sharp, principal, diffuse, fundamental; deretter alfabetisk)

K-skall:  $\Psi_{100} = 1s$

L-skall:  $\Psi_{200} = 2s$

$\Psi_{21-1}, \Psi_{210}, \Psi_{211} = 2p$

M-skall:  $\Psi_{300} = 3s$

$\Psi_{31-1}, \Psi_{310}, \Psi_{311} = 3p$

$\Psi_{32-2}, \Psi_{32-1}, \Psi_{320}, \Psi_{321}, \Psi_{322} = 3d$

Degenerasjonsgrad:  $g_n =$  antall ulike tilstander

$\Psi_{n\ell m_\ell}$  med lik energi  $E_n$ ;  $g_1 = 1, g_2 = 4, g_3 = 9, \dots$

dvs  $g_n = n^2$ .